

внешняя оболочка

ракии

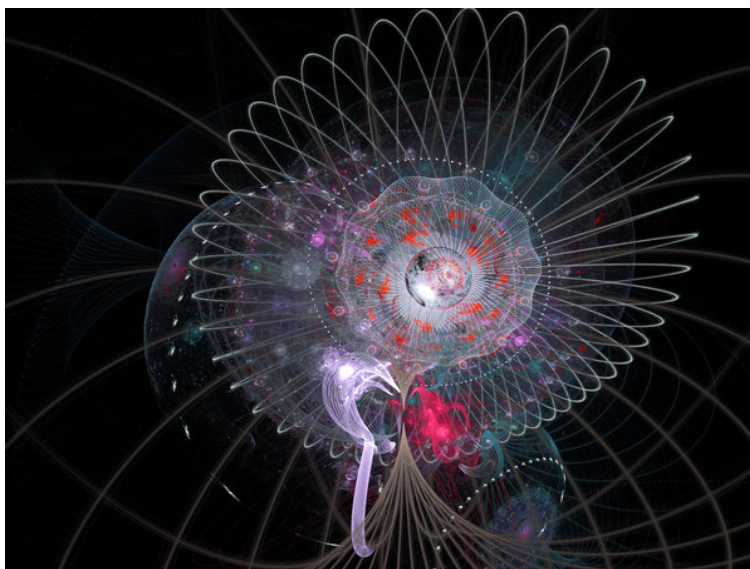
ядро

Иллюстрация многослойной ракии, окружающей ядро голой «планеты» (или «звезды»), через которую внутренность ядра обменивается продуктами жизнедеятельности с его внешней оболочкой (<http://www.aicomunity.org/>)

В результате сложнейших внутриракийных процессов *субконтные* токи превращаются в *антисубконтные* токи (подобно превращению артериальной крови в венозную), которые с околосветовой скоростью начинают с замедлениями (3.2.65) и (3.2.67) оттекать к ракиям «звезд», в частности, к ядру ближайшей «звезды» (см. рис. 3.3.3).

<http://www.fractal-recursions.com/><http://www.fractal-recursions.com/>

Иллюстрация сложнейших обменных *субконт-антисубконтных* процессов, протекающих внутри многослойной ракии, окружающей ядро голой «планеты»



<http://e-science.ru/>



[www.fractal-recursions.com](http://www.fractal-recursions.com)

Иллюстрации ракий (т. е. сложно вложенных друг в друга оболочек) окружающих ядро голой «планеты»

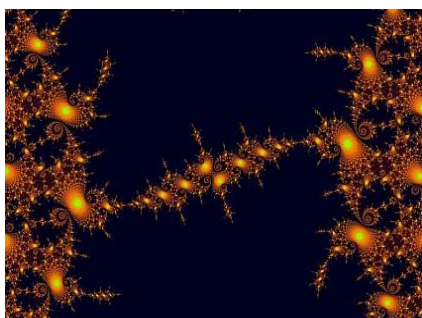
В космическом пространстве (т. е. при  $r \gg r_n$ ) скорости (3.2.45) и (3.2.47) этих оттекающих от «планеты» *антисубконтных* токов относительно не велики, но по мере приближения к ядру «звезды» они ускоряются практически до скорости света.

Проваливаясь с огромной скоростью в многослойную ракию, окружающую ядро голы «звезды», эти *антисубконтные* токи превращаются в *субконтные* токи, которые вновь оттекают с замедлением к ракиям голых «планет», и в частности к ракиям «земли» (см. рис. 3.3.3).

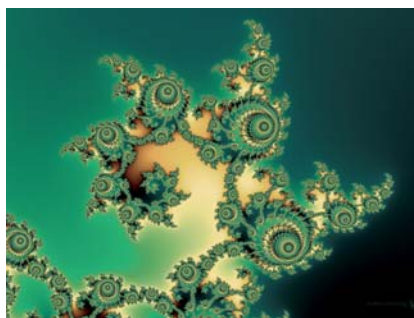
Линии *субконт-антисубконтных* токов, циркулирующих между ракиями «звезды» и «планеты», при самом примитивном варианте рассмотрения можно представить лежащими на четырех сторонах многократно перекрученной четырехгранной ленты Мебиуса (см. рис. 3.3.4).



Рис. 3.3.4. Многократно перекрученная четырехгранная лента Мебиуса отражает простейшую четырехстороннюю топологическую структуру четырехжильного жгута, сплетенного из двух *субконт-антисубконтных* токов, циркулирующих между ракиями голых «звезд» и «планет»



<http://www.pushkino.org/>



<http://www.pushkino.org/>

Иллюстрация межпланетарных *субконт-антисубконтных* токов на более глубинном ультральном уровне рассмотрения

На рис. 3.3.4 представлено самое примитивное модельное представление *субконт-антисубконтного* обменного процесса между ракиями «звезды» и «планеты». На более глубинном ультральном уровне рассмотрения каждый *субконтный* и *антисубконтный* ток – это жгут, состоящий из  $3 + 1 = 4$ -х чрезвычайно сложно переплетенных ультральных токов с сигнатурами, приведенными в числителях ранжиров, показанных на рис. 3.3.3. Всего ультральных токов оказывается  $12 + 4 = 16$ .

Для наглядности ниже приведен состав многослойной метрической структуры внешней оболочки голой «планеты» на ультральном уровне рассмотрения:

**Внешняя оболочка ( $r \in [r_{n1,2,3,4}, R_v]$ )  
«ПЛАНЕТЫ»**

на ультральном уровне рассмотрения (3.3.1)

**Ультральный атлас внешней оболочки голой «планеты»**

Метрика ультрального слоя (ландшафта)	сигнатура (3.3.1a)
$ds^{(-a1)2} = -\left(1 - \frac{r_{n1}}{r}\right)c^2 dt^2 - \frac{dr^2}{\left(1 - \frac{r_{n1}}{r}\right)} - r^2 d\theta^2 - r^2 \sin^2 \theta d\varphi^2,$	(– – – –)
$ds^{(-b2)2} = -\left(1 + \frac{r_{n2}}{r}\right)c^2 dt^2 - \frac{dr^2}{\left(1 + \frac{r_{n2}}{r}\right)} - r^2 d\theta^2 - r^2 \sin^2 \theta d\varphi^2;$	(– – – –)
(3.3.1б)	
$ds^{(+a3)2} = \left(1 - \frac{r_{n3}}{r}\right)c^2 dt^2 + \frac{dr^2}{\left(1 - \frac{r_{n3}}{r}\right)} + r^2 d\theta^2 - r^2 \sin^2 \theta d\varphi^2,$	(+ + + –)
$ds^{(+b4)2} = \left(1 + \frac{r_{n4}}{r}\right)c^2 dt^2 + \frac{dr^2}{\left(1 + \frac{r_{n4}}{r}\right)} + r^2 d\theta^2 - r^2 \sin^2 \theta d\varphi^2;$	(+ + + –)
(3.3.1в)	
$ds^{(+a5)2} = -\left(1 - \frac{r_{n5}}{r}\right)c^2 dt^2 + \frac{dr^2}{\left(1 - \frac{r_{n5}}{r}\right)} + r^2 d\theta^2 - r^2 \sin^2 \theta d\varphi^2,$	(– + + –)
$ds^{(+b6)2} = -\left(1 + \frac{r_{n6}}{r}\right)c^2 dt^2 + \frac{dr^2}{\left(1 + \frac{r_{n6}}{r}\right)} + r^2 d\theta^2 - r^2 \sin^2 \theta d\varphi^2;$	(– + + –)

$$\begin{aligned}
 ds^{(+a7)2} &= \left(1 - \frac{r_{n7}}{r}\right) c^2 dt^2 + \frac{dr^2}{\left(1 - \frac{r_{n7}}{r}\right)} - r^2 d\theta^2 + r^2 \sin^2 \theta d\varphi^2, & (+ + - +) \\
 ds^{(+b8)2} &= \left(1 + \frac{r_{n8}}{r}\right) c^2 dt^2 + \frac{dr^2}{\left(1 + \frac{r_{n8}}{r}\right)} - r^2 d\theta^2 + r^2 \sin^2 \theta d\varphi^2; & (+ + - +)
 \end{aligned}
 \tag{3.3.1г}$$

$$\begin{aligned}
 ds^{(-a9)2} &= -\left(1 - \frac{r_{n9}}{r}\right) c^2 dt^2 - \frac{dr^2}{\left(1 - \frac{r_{n9}}{r}\right)} + r^2 d\theta^2 + r^2 \sin^2 \theta d\varphi^2, & (- - + +) \\
 ds^{(-b10)2} &= -\left(1 + \frac{r_{n10}}{r}\right) c^2 dt^2 - \frac{dr^2}{\left(1 + \frac{r_{n10}}{r}\right)} + r^2 d\theta^2 + r^2 \sin^2 \theta d\varphi^2; & (- - + +)
 \end{aligned}
 \tag{3.3.1д}$$

$$\begin{aligned}
 ds^{(-a11)2} &= \left(1 - \frac{r_{n11}}{r}\right) c^2 dt^2 - \frac{dr^2}{\left(1 - \frac{r_{n11}}{r}\right)} + r^2 d\theta^2 + r^2 \sin^2 \theta d\varphi^2, & (+ - + +) \\
 ds^{(-b12)2} &= \left(1 + \frac{r_{n12}}{r}\right) c^2 dt^2 - \frac{dr^2}{\left(1 + \frac{r_{n12}}{r}\right)} + r^2 d\theta^2 + r^2 \sin^2 \theta d\varphi^2; & (+ - + +)
 \end{aligned}
 \tag{3.3.1е}$$

$$\begin{aligned}
 ds^{(+a13)2} &= -\left(1 - \frac{r_{n13}}{r}\right) c^2 dt^2 + \frac{dr^2}{\left(1 - \frac{r_{n13}}{r}\right)} - r^2 d\theta^2 + r^2 \sin^2 \theta d\varphi^2, & (- + - +) \\
 ds^{(+b14)2} &= -\left(1 + \frac{r_{n14}}{r}\right) c^2 dt^2 + \frac{dr^2}{\left(1 + \frac{r_{n14}}{r}\right)} - r^2 d\theta^2 + r^2 \sin^2 \theta d\varphi^2; & (- + - +)
 \end{aligned}
 \tag{3.3.1ж}$$

$$ds^{(+a15)2} = -\left(1 - \frac{r_{n15}}{r}\right)c^2 dt^2 + \frac{dr^2}{\left(1 - \frac{r_{n15}}{r}\right)} + r^2 d\theta^2 + r^2 \sin^2 \theta d\varphi^2, \quad (- + + +) \quad (3.3.1з)$$

$$ds^{(+b16)2} = -\left(1 + \frac{r_{n16}}{r}\right)c^2 dt^2 + \frac{dr^2}{\left(1 + \frac{r_{n16}}{r}\right)} + r^2 d\theta^2 + r^2 \sin^2 \theta d\varphi^2; \quad (- + + +)$$

(3.3.1и)

$$ds^{(+c1)2} = \left(1 - \frac{r_{n1}}{r}\right)c^2 dt^2 + \frac{dr^2}{\left(1 - \frac{r_{n1}}{r}\right)} + r^2 d\theta^2 + r^2 \sin^2 \theta d\varphi^2, \quad (+ + + +)$$

$$ds^{(+d2)2} = \left(1 + \frac{r_{n2}}{r}\right)c^2 dt^2 + \frac{dr^2}{\left(1 + \frac{r_{n2}}{r}\right)} + r^2 d\theta^2 + r^2 \sin^2 \theta d\varphi^2; \quad (+ + + +)$$

(3.3.1к)

$$ds^{(-c3)2} = -\left(1 - \frac{r_{n3}}{r}\right)c^2 dt^2 - \frac{dr^2}{\left(1 - \frac{r_{n3}}{r}\right)} - r^2 d\theta^2 + r^2 \sin^2 \theta d\varphi^2, \quad (- - - +)$$

$$ds^{(-d4)2} = -\left(1 + \frac{r_{n4}}{r}\right)c^2 dt^2 - \frac{dr^2}{\left(1 + \frac{r_{n4}}{r}\right)} - r^2 d\theta^2 + r^2 \sin^2 \theta d\varphi^2; \quad (- - - +)$$

(3.3.1п)

$$ds^{(-c5)2} = \left(1 - \frac{r_{n5}}{r}\right)c^2 dt^2 - \frac{dr^2}{\left(1 - \frac{r_{n5}}{r}\right)} - r^2 d\theta^2 + r^2 \sin^2 \theta d\varphi^2, \quad (+ - - +)$$

$$ds^{(-d6)2} = \left(1 + \frac{r_{n6}}{r}\right)c^2 dt^2 - \frac{dr^2}{\left(1 + \frac{r_{n6}}{r}\right)} - r^2 d\theta^2 + r^2 \sin^2 \theta d\varphi^2; \quad (+ - - +)$$

(3.3.1м)

$$ds^{(-c7)2} = -\left(1 - \frac{r_{n7}}{r}\right)c^2 dt^2 - \frac{dr^2}{\left(1 - \frac{r_{n7}}{r}\right)} + r^2 d\theta^2 - r^2 \sin^2 \theta d\varphi^2, \quad (- - + -)$$

$$ds^{(-d8)2} = -\left(1 + \frac{r_{n8}}{r}\right)c^2 dt^2 - \frac{dr^2}{\left(1 + \frac{r_{n8}}{r}\right)} + r^2 d\theta^2 - r^2 \sin^2 \theta d\varphi^2; \quad (- - + -)$$

$$ds^{(+c9)2} = \left(1 - \frac{r_{n9}}{r}\right) c^2 dt^2 + \frac{dr^2}{\left(1 - \frac{r_{n9}}{r}\right)} - r^2 d\theta^2 - r^2 \sin^2 \theta d\varphi^2, \quad (+ + - -) \quad (3.3.1н)$$

$$ds^{(+b10)2} = \left(1 + \frac{r_{n10}}{r}\right) c^2 dt^2 + \frac{dr^2}{\left(1 + \frac{r_{n10}}{r}\right)} - r^2 d\theta^2 - r^2 \sin^2 \theta d\varphi^2; \quad (+ + - -)$$

$$ds^{(+c11)2} = -\left(1 - \frac{r_{n11}}{r}\right) c^2 dt^2 + \frac{dr^2}{\left(1 - \frac{r_{n11}}{r}\right)} - r^2 d\theta^2 - r^2 \sin^2 \theta d\varphi^2, \quad (- + - -) \quad (3.3.1о)$$

$$ds^{(+d12)2} = -\left(1 + \frac{r_{n12}}{r}\right) c^2 dt^2 + \frac{dr^2}{\left(1 + \frac{r_{n12}}{r}\right)} - r^2 d\theta^2 - r^2 \sin^2 \theta d\varphi^2; \quad (- + - -)$$

$$ds^{(-c13)2} = \left(1 - \frac{r_{n13}}{r}\right) c^2 dt^2 - \frac{dr^2}{\left(1 - \frac{r_{n13}}{r}\right)} + r^2 d\theta^2 - r^2 \sin^2 \theta d\varphi^2, \quad (+ - + -) \quad (3.3.1п)$$

$$ds^{(-d14)2} = \left(1 + \frac{r_{n14}}{r}\right) c^2 dt^2 - \frac{dr^2}{\left(1 + \frac{r_{n14}}{r}\right)} + r^2 d\theta^2 - r^2 \sin^2 \theta d\varphi^2; \quad (+ - + -)$$

$$ds^{(-c15)2} = \left(1 - \frac{r_{n15}}{r}\right) c^2 dt^2 - \frac{dr^2}{\left(1 - \frac{r_{n15}}{r}\right)} - r^2 d\theta^2 - r^2 \sin^2 \theta d\varphi^2, \quad (+ - - -) \quad (3.3.1р)$$

$$ds^{(-d16)2} = \left(1 + \frac{r_{n16}}{r}\right) c^2 dt^2 - \frac{dr^2}{\left(1 + \frac{r_{n16}}{r}\right)} - r^2 d\theta^2 - r^2 \sin^2 \theta d\varphi^2. \quad (+ - - -)$$

Учет всех 16-ти возможных сигнатур приводит к тому, что на ультреральном уровне рассмотрения метрико-динамическая структура внешней оболочки голы «планеты» описывается атласом, состоящим из 16-ти сложно вложенных дуг в друга двусторонних карт (т. е. 32-х переплетенных ультреральных 4-ландшафтов), описываемых 32-мя метриками (3.3.1а)–(3.3.1р).

Как сказано в Сефер Ецира (Книге Творения) Авраама Иври [6]: «Тридцатью двумя путями – чудными, и мудрыми, Начертал ИАХ, АДОНАЙ Саваоф, Б-Г Израиля, Б-Г Живой и Царь Вечный, ЭЛЬ Шадай, Милосердый и Прощающий, Возвышенный, Пребывающий в Вечности, – возвышенно и свято Имя ЕГО, – и Создал Мир СВОЙ тремя сефарим: сефер (книга), сефор (счисление) и сипурь (повествование)».

На ультеральном уровне рассмотрения межпланетарный  $\lambda_{6+7}$  - вакуумный ток является жгутом, состоящим из сложного гармоничного переплетения  $16 + 16 = 32$  ультеральных субконт-антисубконтных токов.



<http://fotki.yandex.ru/>

Иллюстрация сложного переплетения  $16 + 16 = 32$  ультеральных субконт-антисубконтных токов

«Б-ЖЕ! ТЫ Отринул нас, ТЫ Сокрушил нас, ТЫ Прогневался: Обратись к нам. ТЫ Потряс Землю, Разбил Ее: Исцели повреждения Ее, ибо Она колеблется. ТЫ Дал испытать народу ТВОЕМУ жестокое, Напоил нас вином изумления. Даруй боящимся ТЕБЯ Знамя, чтобы они подняли его ради ИСТИНЫ...» (Псалтирь, 59:3–6).



<http://www.spase.com/> (фото NASA с телескопа Hubble)



<http://www.spase.com/> (фото NASA с телескопа Hubble) «Столпы Творения»

*Какая ночь! Алмазная роса  
Живым огнем с огнями Неба в споре,  
Как океан разверзлись небеса,  
И спит земля – и теплится как Море...*  
А. А. Фет



[www.fractal-recursions.com](http://www.fractal-recursions.com)



[www.fractal-recursions.com](http://www.fractal-recursions.com)

Фрактальные иллюстрации межзвездной  
вакуумной протяженности

Усредненная скорость ультерального субконт-антисубконтного тока описывается седенионом (см. п. 1.8.8 в [8]) вида

$$\begin{aligned}
 v_r^{(abcd)} = & \\
 = & \eta_1(v_{r1}^{(-a)} + v_{r1}^{(+c)}) + \eta_2(v_{r2}^{(-b)} + v_{r2}^{(+d)}) + \eta_3(v_{r3}^{(-a)} + v_{r3}^{(+c)}) + \eta_4(v_{r4}^{(-b)} + v_{r4}^{(+d)}) + \\
 & \eta_5(v_{r5}^{(-a)} + v_{r5}^{(+c)}) + \eta_6(v_{r6}^{(-b)} + v_{r6}^{(+d)}) + \eta_7(v_{r7}^{(-a)} + v_{r7}^{(+c)}) + \eta_8(v_{r8}^{(-b)} + v_{r8}^{(+d)}) + \\
 & \eta_9(v_{r9}^{(-a)} + v_{r9}^{(+c)}) + \eta_{10}(v_{r10}^{(-b)} + v_{r10}^{(+d)}) + \eta_{11}(v_{r11}^{(-a)} + v_{r11}^{(+c)}) + \eta_{12}(v_{r12}^{(-b)} + v_{r12}^{(+d)}) + \\
 & \eta_{13}(v_{r13}^{(-a)} + v_{r13}^{(+c)}) + \eta_{14}(v_{r14}^{(-b)} + v_{r14}^{(+d)}) + \eta_{15}(v_{r15}^{(-a)} + v_{r15}^{(+c)}) + \eta_{16}(v_{r16}^{(-b)} + v_{r16}^{(+d)}),
 \end{aligned}
 \tag{3.3.2}$$

где  $v_{ri}^{(+a,b,c,d)} = (c^2 r_{ni} / r)^{1/2}$  – скорость  $i$ -го ультерального внутривакуумного тока ( $i = 1, 2, 3, \dots, 16$ );

$\eta_i$  – набор из 16-ти мнимых единиц, удовлетворяющих условиям алгебры Клиффорда  $\eta_m \eta_n + \eta_n \eta_m = 2\delta_{mn}$ , где  $\delta_{nm}$  – единичная  $16 \times 16$  - матрица (см. гл. 1.8 в желтой Алсигне [8]).

Тридцать два ультеральных тока, описываемых нулевыми компонентами инфраметрических тензоров из метрик (3.3.1), переплетаются в невообразимо сложные замысловатые жгуты и узоры, формирующие ультеральную токовую ткань живого межпланетарного Естества (см. рис. 3.3.5).



[www.fractal-recursions.com](http://www.fractal-recursions.com)

Рис. 3.3.5. Фрактальная иллюстрация сложнейших переплетений 32-х ультеральных токов, циркулирующих между ракиями «звезд» и «планет»



[www.fractal-recursions.com](http://www.fractal-recursions.com)



[www.fractal-recursions.com](http://www.fractal-recursions.com)

Иллюстрации переплетения токов Бытия  
на ультральном уровне рассмотрения



[www.fractal-recursions.com](http://www.fractal-recursions.com)



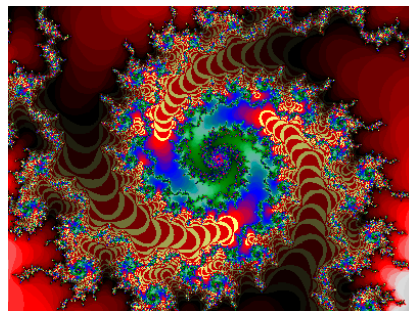
[www.fractal-recursions.com](http://www.fractal-recursions.com)

«ОН Сотворил землю Своею, Утвердил Вселенную Мудростью Своею и Разумом Своим Распростер Небеса. По Гласу ЕГО шумят воды на Небесах, и ОН Возводит Облака от краев Земли, Творит молнии среди дождя и Изводит ветер из Хранилищ Своих» (Иеремия 51: 15 – 16)

*Тело человека – это чрезвычайно сложное переплетение узлов пико-, нано-, микро- и миллископических токов вакуума, вплетенных в ткань Единого несметного токового многообразия межпланетарного Бытия.*



<http://i038.radikal.ru/>



[www.coolmath.com](http://www.coolmath.com)

*Каждое наше действие влияет на все многообразие живого Естества и перестраивает тончайшую токовую структуру Планет, Галактик и всей Вселенной в целом. Если мы благоустроиваем и украшаем Природу, то и Природа насыщает и исцеляет нас. Напротив, если мы ломаем и портим окружающую Действительность, то страдаем и болеем неизлечимыми болезнями, и египетские казни настигают нас.*

*Нарушение Б-ЖЕСТВЕННОЙ Гармонии возвращается к нам ужасом болезненного восприятия Реальности, в котором нет жизни, а только пустота, холод и камни:*



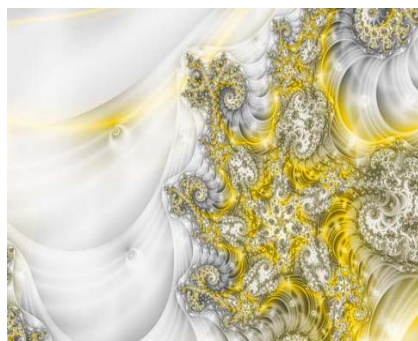
<http://radikal.ru/>

Благословен тот, кто удостоится восприятия каббалы о том, что глубинная структура ткани окружающего нас живого Естества строится, подобно переплетенной спиральной структуре молекулы ДНК, на основании семидесяти двух трехбуквенных комбинаций:

והו	יכלי	סיט	עלם	מהש	ללה	אכא	כהת
הזי	אלד	לאו	ההע	יול	מבה	הרי	הקם
לאו	כלי	לוו	פהל	זלך	ייי	מלה	וזהו
נתה	האא	ירת	שאה	ריי	אום	לכב	ושר
יוזו	להוז	כוק	מנד	אזי	וועם	רהע	ייו
ההה	מיכ	וול	ילה	סאל	ערי	עשל	ביה
והו	דזי	הוזש	עמם	זנא	זית	מבה	פוי
זמם	ייל	הרוז	מצר	ומב	יתה	עזו	מוזי
דמב	מזק	איע	וזבו	ראה	יבמ	היי	מום

(3.3.3)

Эти семьдесят две трехбуквенные комбинации отражают свойства различных оттенков Б-ЖЕСТВЕННОГО Влияния, Формирующего невообразимое многообразие проявлений Духовной и материальной Природы – Элог’им (Судей) тонких миров и нашего мира. Эти трехбуквенные комбинации (своего рода «аминокислоты Бытия») Внутренняя ТОРА Называет 72-мя Именами ТВОРЦА (Шем га-Мефораш).



*Еврейское предание говорит, что Моше Рабейну (Моисей) воззвал к ВЛАСТЕЛИНУ Мироздания именно через это Имя Творящей ОСНОВЫ Бытия, властвующего над тканью Бытия этого мира, когда перед сынами Израиля расступились воды Чермного моря.*



<http://klevi.ru/blog/>



<http://klevi.ru/blog/>

*«И простер Моисей руку свою на море, и гнал ГОСПОДЬ море сильным восточным ветром всю ночь, и сделал море сушею; и расступились воды. И пошли сыны Израилевы среди моря по суше: воды же были им стеною по правую и по левую сторону» (Исход, 14:21–22).*